

OLGU SUNUMU

EFOR DISPNEİNİN NADİR NEDENİ: SWYER JAMES (MC LEOD) SENDROMU

THE RARE CAUSE OF EFFORT DYSPNEA: SWYER JAMES (MC LEOD) SYNDROME

Erol ŞENTÜRK Aydanur EKİCİ Emel BULCUN Mehmet EKİCİ
Tülay KARAKOÇ Gökhan TİRELİ Volkan ALTINKAYA

Kırıkkale Üniversitesi Tıp Fakültesi, Göğüs Hastalıkları Kliniği, Kırıkkale

Anahtar sözcükler: Mc Leod Sendromu, Dispne, Unilateral hiperlüsen akciğer

Key words: Mc Leod Syndrome, Dyspnea, Unilateral hyperlused lung

Geliş tarihi: 01.03.2009

Kabul tarihi: 24.07.2009

ÖZET

Swyer James ya da Mc Leod Sendromu; unilateral hiperlüsen akciğer, hacim kaybı, mediastinal şift ve etkilenen tarafta daha küçük hilär gölge izlenmesi ile karakterize nadir bir hastalıktır. Pulmoner emboli, perfüzyon bozukluğu yapan diğer hastalıklar ve efor dispnesi yapan bazı hava yolu hastalıkları ile karışabilir. Bir kaç yıldır başka merkezlerde astım tanısı ile takip edilen 41 yaşında kadın olgu Swyer James Sendromu tanısı ile literatür bilgileri eşliğinde tartışıldı.

GİRİŞ

Swyer James Sendromu (SJS), postenfeksiyonlu bronşiyolitis obliterans'ın bir varyantıdır. Genellikle inspirasyon ve expirasyonda çekilen akciğer grafilerinin yardımıyla tanısı konulur. Standart tomografi, bronkografi, ve arteriografi gibi pek çok radyolojik prosedür genellikle tanıda faydalıdır (1). Çocukluk çağında meydana gelen pek çok stimulusun bu sendromu tetikleyebileceği düşünülmektedir. Bu stimuluslar; radyasyon terapisi, kızamık, pertussis,

SUMMARY

Swyer James or Mc Leod Syndrome is a rare disease characterized by abnormal hyperlucency of one lung, loss of volume, mediastinal shift and smaller hilum shadow in affected side on chest radiography. It can be confused with pulmonary embolism, other diseases performing abnormal perfusion and some airway diseases causing effort dyspnea. A 41-year-old woman who has been pursuing by other clinics with the diagnosis of asthma for a few years was discussed with the knowledge of literature with the diagnosis of Swyer James Syndrome.

hidrokarbon aspirasyonu, tüberküloz ve sıkılıkla bir adenoviral enfeksiyondur (2). Bunnlarla ek olarak pek çok yanında yabancı cisim aspirasyonunu takiben oluşan SJS tanımlanmıştır (3). Bu pulmoner nedenler bronşiyolitis obliterans ve sonunda akciğer parankiminin destrüksyonuna yol açan bir bronşit ve bronşiyoliti başlatır. Bronşlarda ve bronşiyollerde skarlaşma ve stenoz meydana gelir. İnteralseptaların fibrozisi ile pulmoner kapiller yataktaki obliterasyon meydana

gelir ve major pulmoner arterlere kan akımının azalması, hipoplastik vasküler yapı ile sonuçlanır (4). Pulmoner sirkulasyondaki azalma, alveoler keselerdeki hasarlanmaya sekonderdir (1,5).

Genellikle erişkinde asemptomatik olmasına rağmen hastaların öksürük, kronik ve tekrarlayan pulmoner enfeksiyonlar, azalmış egzersiz toleransı ve hemoptizi yakınmaları olabilir (1).

SJS'deki iki ana patofizyolojik defekt unilateral bronşektazi ve aynı tarafta pulmoner arterin hipoplazisidir. Bu durum, kontralateral bronşiyal arteryal kan akımında artışa neden olabilir. Başka çalışmalar ise, bronşiyal arteriel dolaşımındaki hemodinamik ve morfolojik değişikliklerin bronşektaziden kaynaklandığını göstermektedir (6).

Radyografilerde genellikle tek lob veya tek akciğere sınırlı hiperlüsensi görülsürken bronkografi ve radyonüklid görüntülemede sıkılıkla bilateral ve yamalı tutulum gözlenir (9). Radyonüklid ventilasyon görüntülemede gecikmiş gaz uptake'ı ve hava hapsi bölgelerinde gecikmiş washout izlenir (13). Perfüzyon ve ventilasyon defektleri örtüşür(14). Bronkografide major bronşlar normal, fakat daha küçük dallar sopa gibidir ve periferal ayırm yerlerinden uzanan küçük dallanmalar mevcuttur. Hemen hemen komplet alveoler dolum defekti vardır (3). Sağlam tarafın bronkogramı normaldir.

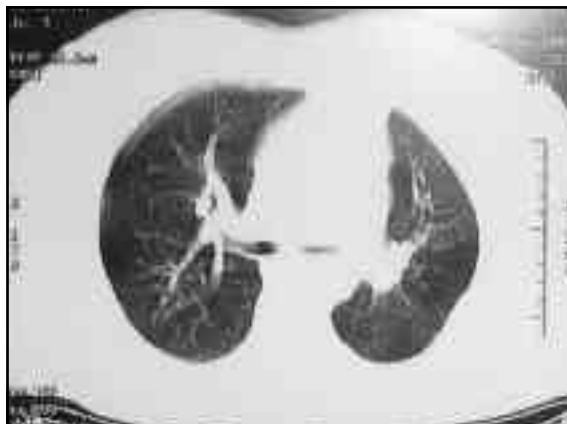
Hastaların anjiyografisinde etkilenen tarafta belirgin şekilde küçülmüş pulmoner arter ve akciğer görüntülemede perfüzyonun hemen hemen komplet yokluğu izlenir (10).

Eforla nefes darlığı şikayeti olan ve başka merkezlerde yanlış tanı konulup astım tanısı ile takip edilen kadın olgumuz efor dispnesinin nadir nedenleri içerisinde görülen

Swyer James Sendromu tanısı ile literatüre sunulmak istenmiştir.

OLGU

4-5 yıldır dış merkezlerde astım tanısı ile takip edilen ve çeşitli inhaler ilaçlar kullanan 41 yaşında kadın hasta, son 3 aydır artan nefes darlığı şikayetiyle kliniğimize başvurdu. Nefes darlığı eforla oluyordu ve beraberinde wheezing tarifliyordu. Gece nefes darlığı ile uyanma, öksürük, balgam, göğüs ağrısı gibi şikayetleri yoktu. Sigara öyküsü yoktu. 21 yaşında iken gebelikte öksürük balgamla seyreden ağır bir enfeksiyon geçirme öyküsü vardı. Fizik muayenesinde her iki hemitoraks solunuma eşit katılıyor, vibrasyon torasik ve perküsyon normal ve dinlemekle solunum sesleri normaldi. Solunum fonksiyon testinde orta derecede restriktif patern (FEV1: 1.09 (47), FVC: 1.39 (51), FEV1%: 78, MEF: 0.83 (24), PEF: (64) ve arter kan gazında orta derece hipoksemi mevcuttu (Ph: 7.42, PO₂: 64, PCO₂: 40, HCO₃: 26, SO₂: 92, Be: 1.5, A-a DO₂: 24,). Reverzibilite testi negatifti (mutlak: 160 ml, %13), akciğer difüzyon testi normaldi (DLCO: 8.2 (108), DL/VA: 141, VA: 3.2(77)). Trans-



Resim 1. Toraks BT parankim penceresinde solda volüm kaybı ve mozaik perfüzyon paterni izleniyor.



Resim 2. Toraks MRG'de sol pulmoner arter çapında küçülme.

torasik ekosunda tahmini pulmoner arter basıncı: 34 mmHg olarak ölçülmüştü. Posteroanterior akciğer grafisinde sol hemitoraksda hafif volüm kaybı mevcuttu ve mediasten sola doğru yer değiştirmiştir. Daha önce çekilen Toraks BT'sinde sol pulmoner arter net olarak ayırd edilemedi, hipoplazik olduğu düşünüldü ve sol hemitoraksda volüm kaybı, bilateral periferik yamalı hiperlüsen alanlar ve mozaik perfüzyon paterni izlendi (Resim 1). Vasküler yapıları daha iyi değerlendirebilmek için toraks MR anjiyografi çekildi. Sol pulmoner arter çapı 13 mm (azalmış), sol inferior pulmoner arter çapı 6.7 mm, sol superior pulmoner arter çapı 8.1 mm ölçüldü (Resim 2).

TARTIŞMA

SJS, yaygın değildir. 52 bronşiyolitis obliteranslı hasta üzerinde yapılan bir çalışmada sadece iki olguda hiperinflasyon bulunmuştur (10). Adenoviral akciğer enfeksiyonlu 69 çocuk üzerinde yapılan bir çalışmada ise üç hastada SJS geliştiği görülmüştür (16).

SJS'nin bronşektazi ile birlikteliği açısından pek çok teori vardır. Birincisi; bronşiyolitis obliterans, atelektaziye veya bronşiyal dilatasyonla sonuçlanan skarlaşmaya yol açabilir (7). İkincisi; bronşektazi, küçük hava yollarına yayılan kronik enfeksiyona neden

olabilir ve bu da obliterasyona yol açabilir (7,8). Üçüncüsü; viral enfeksiyon hem bronşiyoller hem de bronşları eş zamanlı hasarlandırabilir (8,12) ve erken cevap, hafif talar-aylar sonra ortaya çıkan hava hapsi, bronşiyoller obstruksiyon ve bronşektazi olabilir (9,12). Hastamızın HRCT'si olmadığı için bronşektaziler net değerlendirilemedi fakat normal kontrastlı tomografisinde sol alt lob posterior lokalizasyonda bronşektaziyi şüphelendirerek dansite artışları izlendi.

Pulmoner fonksiyon testleri, obstruktif hava yolu hastalıkları paternini gösterir (3). Karakteristik radyografik bulguları: unilateral hiperlüsen akciğer, hacim kaybı, azalmış parankim çizgileri, karşı taraf akciğerden daha küçük hiler gölge ve mediastenin etkilenen tarafa doğru yer değiştirmesidir (10). Hastamızın akciğer grafisinde sol hemitoraksda volüm azalması ve mediastende sola doğru yer değiştirme mevcuttu, sol hilus kalp gölgesi ile superpozeydi ve izlenemiyordu. Akciğer volümü ve dansitesi; bronkoalveolar hasarlanmanın başlangıcı nedeniyle ara dönemlerde normal olabilir (15). Expirasyon filminde karakteristik olarak normal tarafa doğru mediastinal şift olur ve hiperlüsen akciğerde hemen hemen hiç volüm ve dansite değişikliği olmaz (10,17). Bu bulgular hava hapsi ile uyumludur. Hava hapsi, hava

boşluklarından kollateral hava akımı yoluyla gaz girişi ve bronşiyoller obstrüksiyon nedeniyle gazın çıkışamamasından kaynaklanır (12).

Radyografilerde bu sendromun en çok; lobér veya ana bronşu inkomplet tikayan endobronşiyal lezyon, unilateral büllöz hastalık ve pulmoner arteryal anomaliliklerden ayırmayı yapılmalıdır (1). Pulmoner emboli, azalmış pulmoner perfüzyon yapan diğer bozuklıklar, hiperaerasyon, pulmoner parankim kaybı ve toraksı çevreleyen dokulardaki değişiklikler SJS ile karıştırılabilir. Hastalar pulmoner emboli şüphesiyle antikoagulan tedavi alabilirler (17).

CT, SJS'nin ayrııcı tanısında kullanılabilir. Bronşiyal ağacı en iyi şekilde gösterir ve çocuklarda yabancı cisim, erişkinlerde endobronşiyal tümörün ekarte edilmesinde yardımcı olur (18). Hava hapsi ve pulmoner oligemiyi daha iyi gösterir. İnfiltratif akciğer hastalıklarında görülen buzlu cam opasitelerinden kolaylıkla ayırmayı yapabilir. Buzlu cam alanlarında dens bölgelerde ve hiperlüsen bölgelerde vasküler çaplar aynıdır(19). Ayrıca, pulmoner arter agenezisi ve küçük ya da hipoattenüe akciğerle ilişkili diğer sendromların ayrııcı tanısında faydalıdır (20).

Parankimal akciğer değişiklikleri CT ile kolayca gösterilebilir. Bazı hastalarda bronşiyal ağaçla bağlantı içerisinde amfizematöz kaviteler izlenebilir ve bunlar sekonder olarak enfekte olabilir. CT ayrıca bronşektazilerin varlığını, lokalizasyonunu ve tipini gösterebilir (21).

Xenon-133 ventilasyon çalışması SJS'yi destekleyici tanı sağlasa da (13) (küçük hava yollarının obliterasyonunu gösteren difüz periferal ventilatuar defektler izlenir (22,23)) bu işlem akciğerdeki parankimal ve bronşiyal ağaç değişikliklerini gösteremez. Vasküler etyoloji düşünülen unilateral hiperlüsen akciğerde perfüzyon görüntülemesi anormal olur fakat SJS'nin aksine ventilatuar görüntüleme normal olur (23).

Efor dispnesi şikayetileyi başvuran, başka merkezlerde astım tanısı ile takip edilen olgumuzda; akciğer grafisinde solda volüm kaybı, mediastinal şift izlenmesi ve kontrastlı tomografisinde yamalı hiperlüsen alanlar ile şüpheli bronşektazik odak görülmesi ve MR anjiyografide izlenen sol pulmoner arter hipoplazisinden başka bu görünümeye yol açacak patolojik bulgu saptanmaması üzere Swyer James Sendromu düşünülmüşür.

KAYNAKLAR

1. Luis Martí-Bonmatí, Francisco Ruiz Perales, Francisco Català, et al. CT findings in Swyer - James Syndrome, Radiology 1989; 172: 477-80.
2. Kogut MS, Swischuk LE, Goldblum R. Swyer-James syndrome (unilateral hyperlucent lung) in children. Am J Dis Child 1973; 125: 614-8.
3. Margolin HN, Rosenberg LS, Felson B, et al. Idiopathic unilateral hyperlucent lung: a roentgenologic syndrome. Am J Roentgenol 1959; 82: 63-75.
4. Fraser RG, Pare VAP. Diagnosis of diseases of the chest, 2nd ed. Philadelphia: W.B. Saunders, 1979: 3: 1431-3.
5. Ekim N. Swyer-James (MacLeod) Sendromu. In: Ekim N ve ark. Göğüs hastalıklarında sendromlar. Ankara, Türkiye: Erk Yayıncılık 2000: 22-5.
6. Viamonte M Jr, Parks RE, Smoak WM IV: Guided catheterization of the bronchial arteries. Radioloy 1965; 85: 205-29.
7. Thurlbeck WM. Chronic airflow obstruction. In: Thurlbeck WM, ed. Pathology of the lung. New York: Thieme Medical, 1988: 519-575.
8. Whitwell F. A study of the pathology and pathogenesis of bronchiectasis, Thorax 1952; 7: 213-39.

9. Reid L, Simon G, Zorab PA, Seidelin R. The development of unilateral hypertransradiancy of the lung. *Respir Med* 1967; 61: 190-4.
10. Swyer PR, James G CW: A case of unilateral pulmonary emphysema. *Thorax* 1953; 8: 133-6.
11. Gosink BB, Friedman PJ, Liebow AA. Bronchiolitis obliterans. Roentgenologic-pathologic correlation. *AJR* 1973; 117: 816-32.
12. Becroft DMO. Bronchiolitis obliterans, bronchiectasis, and other sequelae of adenovirus type 21 infection in young children. *J Clin Pathol* 1971; 24: 72-82.
13. O'Dell CW, Taylor A, Higgins CB, Ashburn WL, Schillaci RF, Alazraki NP. Ventilation-perfusion lung images in the Swyer-James syndrome. *Radiology* 1976; 121: 423-6.
14. Aynsley D, A. Moore, J. David Godwin, Peter A. Dietrich, et al. Swyer James Syndrome: CT findings in eight patients. *AJR* 1992; 158: 1211-5.
15. Grainger RG. The pulmonary circulation: the radiology of adaptation. *Clin Radiol* 1985; 33: 103-16.
16. Gold R, Wilt JC, Adhikari PK, MacPherson RI. Adenoviral pneumonia and its complications in infancy and childhood. *Can Assoc Radiol J* 1969; 20: 218-24.
17. Leon S, Giottlieb, MD, FCCP, and A. Franklin Turner, MD. Swyer-James (Mc Leod) Syndrome, variations in pulmonary-bronchial arterial blood flow. *Chest* 1976; 69: 62-6.
18. Berger PE, Kuhn JP, Kuhns LR. Computed tomography and the occult tracheobronchial foreign body. *Radiology* 1980; 134:133-5.
19. King T (Editor). In: *Bronchiolitis Clinics in Chest Medicine*. Philadelphia, W.B. Saunders, 1993; 14: 4.
20. Godwin JD, Tarver RD. Scimitar syndrome: four new cases examined with CT. *Radiology* 1986; 159: 15-20.
21. Silverman PM, Godwin JD. CT/bronchographic correlations in bronchiectasis. *Comput Assist Tomogr* 1987; 11: 52-6.
22. Gottlieb LS, Turner AF. Swyer-James (MacLeod's) syndrome variations in pulmonary-bronchial arterial blood How. *Chest* 1976; 69: 62-6.
23. Isawa T, Tapian GV. Unilateral pulmonary artery agenesis, stenosis and hypoplasia. *Radiology* 1971; 116 Miller and Caride The Journal of Nuclear Medicine 99: 605-12.

Yazışma Adresi:

Dr. Erol ŞENTÜRK
Kırıkkale Üniversitesi Tıp Fakültesi,
Göğüs Hastalıkları, KIRIKKALE
Tel : 0 318 225 62 47
e-posta: aresscorpion@yahoo.com
